

FIG. 1
PRIOR ART

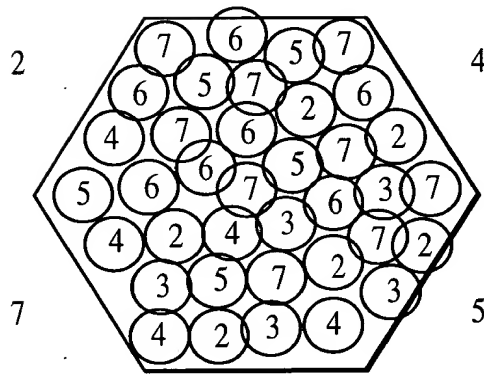
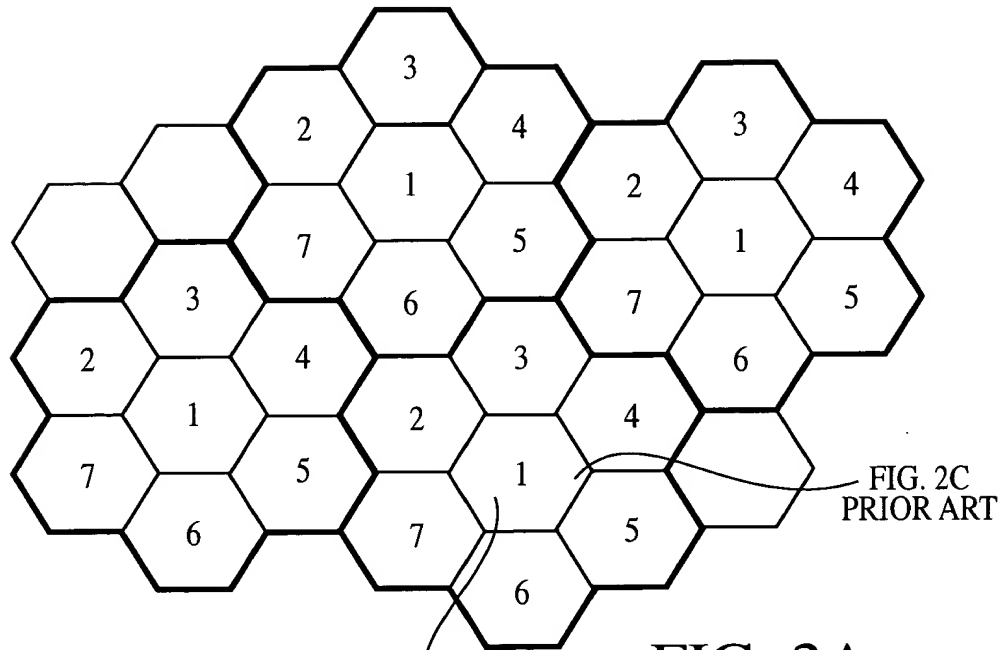


FIG. 2B
PRIOR ART

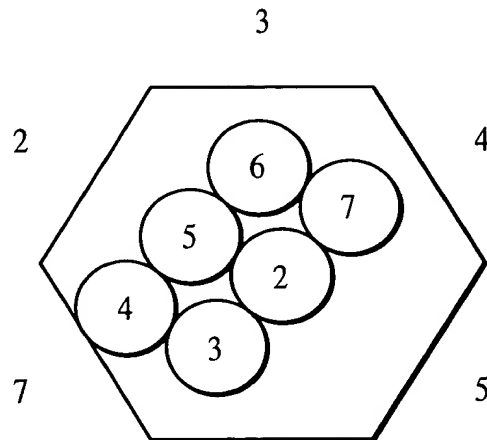


FIG. 2C
PRIOR ART

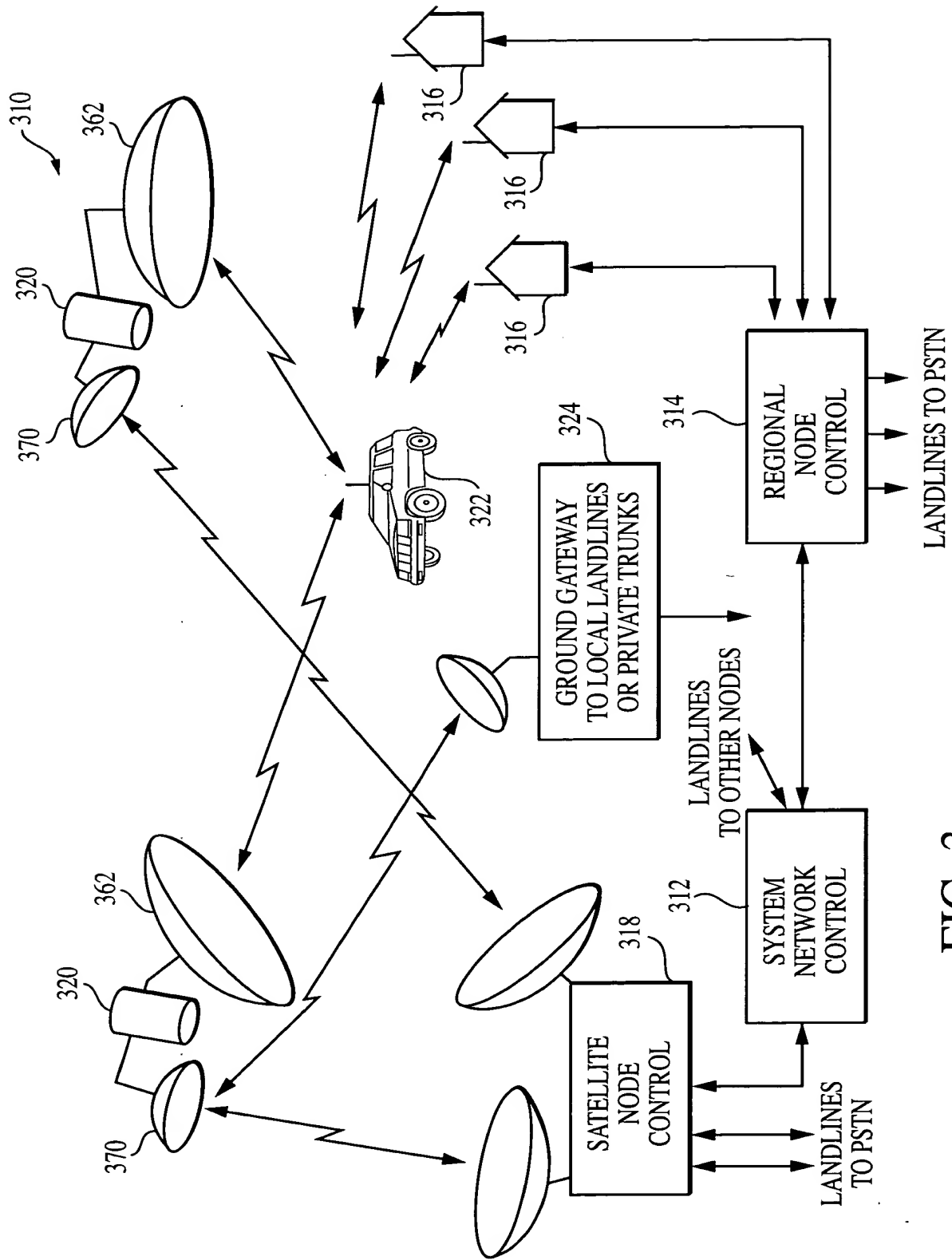


FIG. 3
PRIOR ART

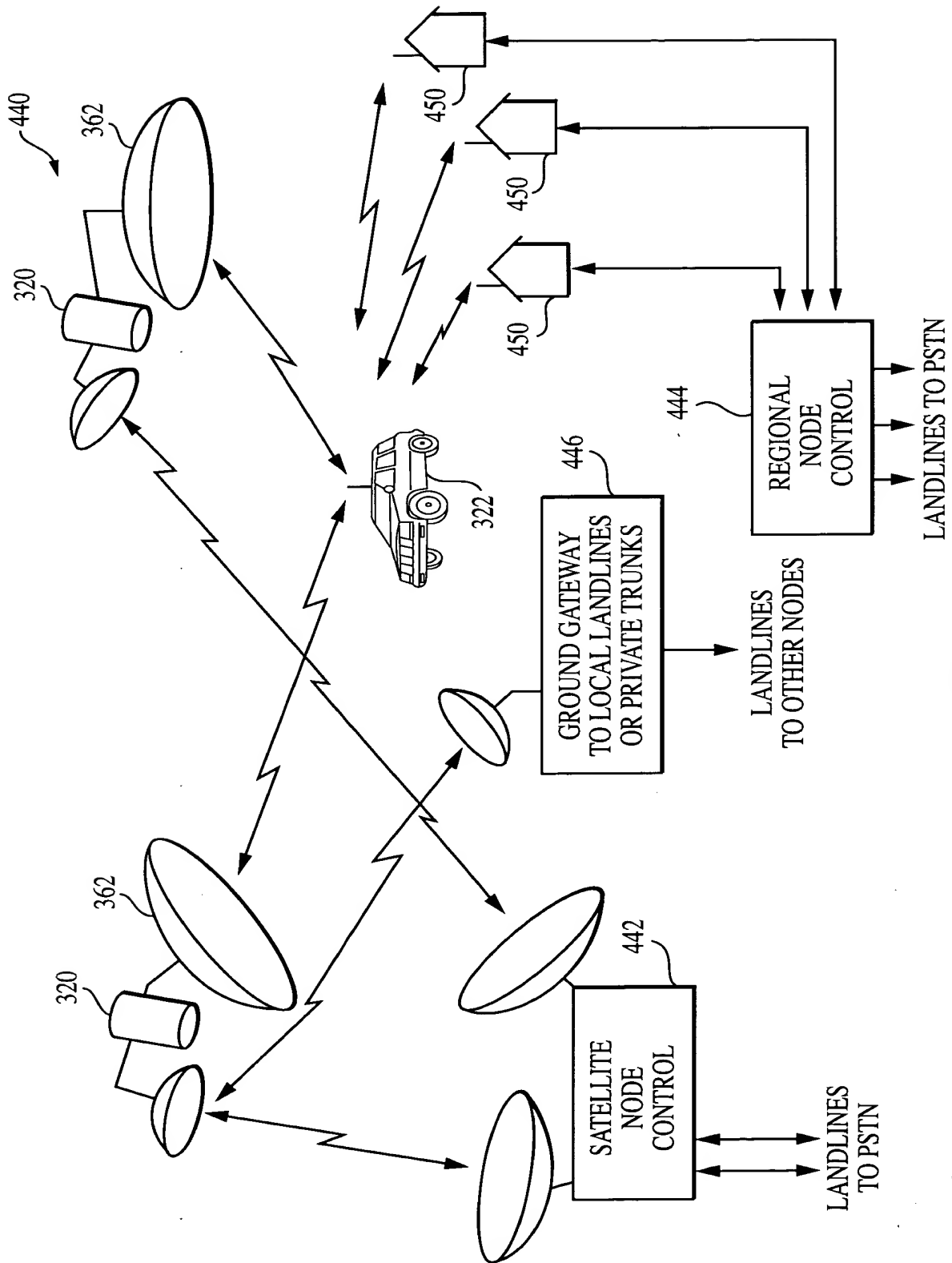


FIG. 4
PRIOR ART

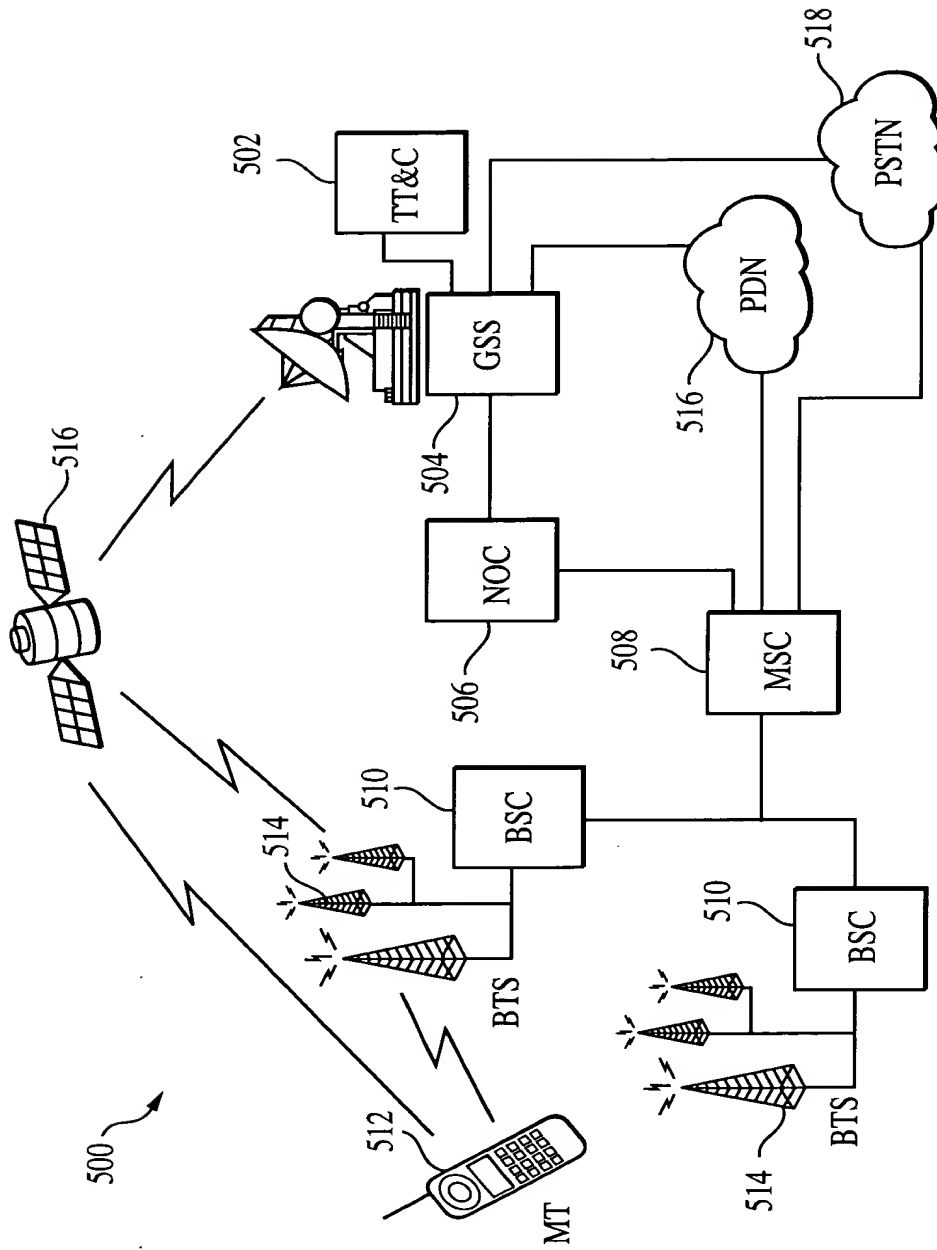


FIG. 5

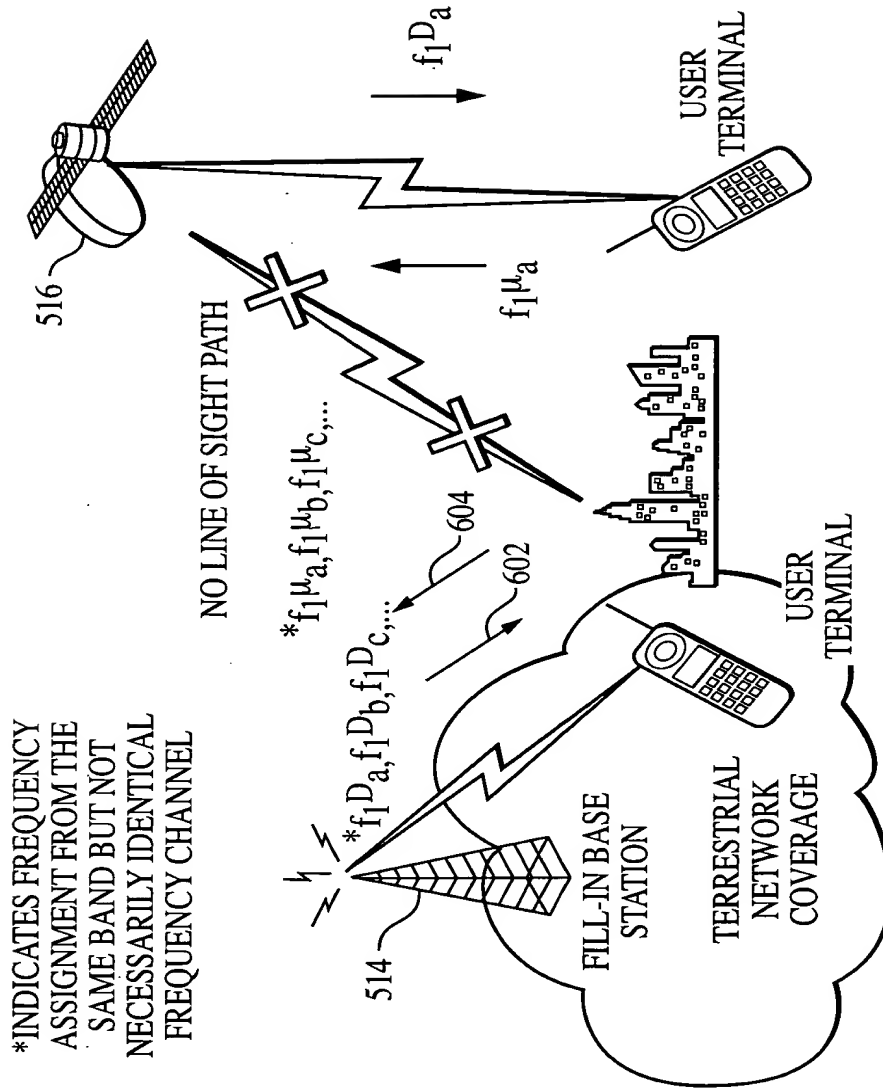


FIG. 6

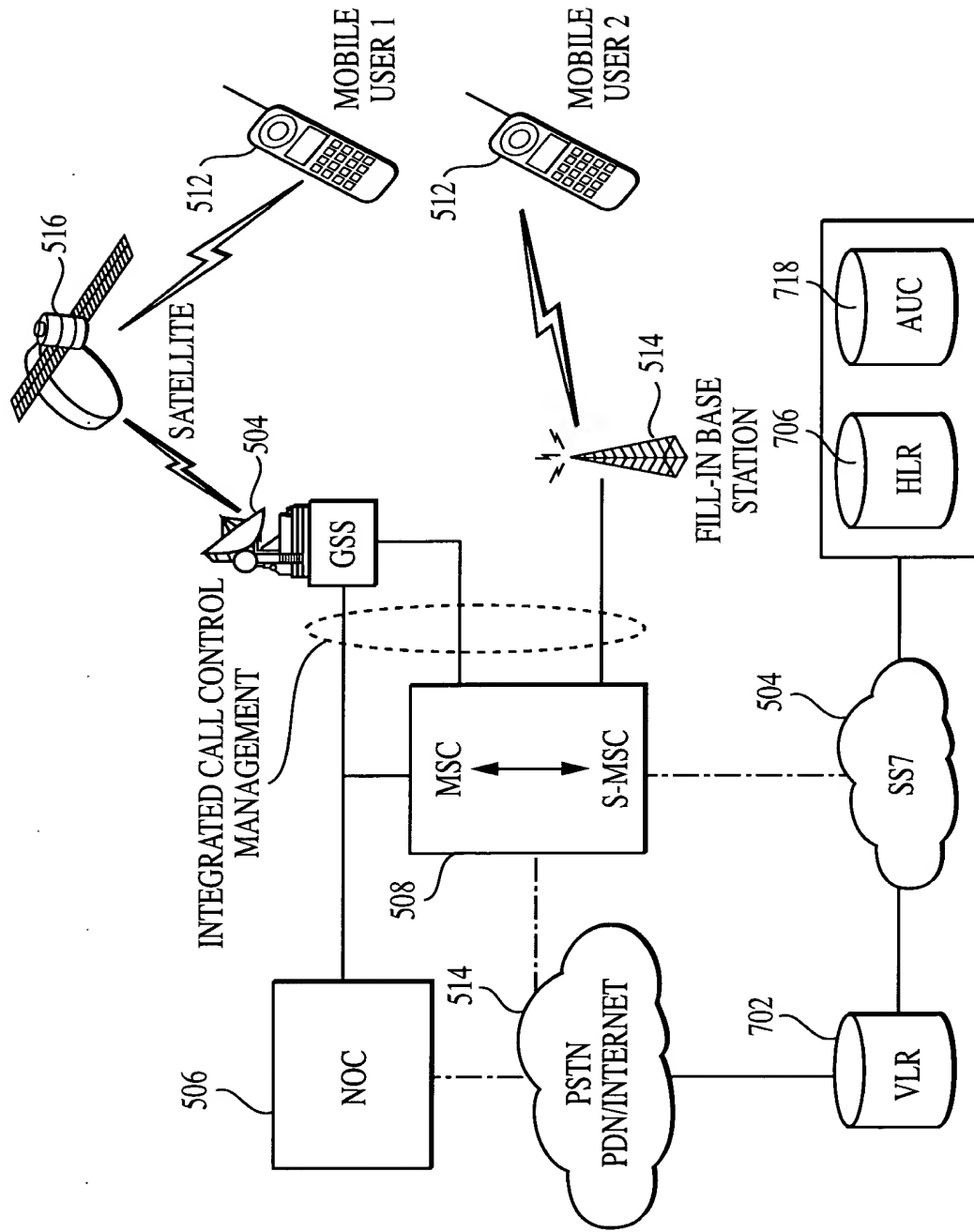


FIG. 7



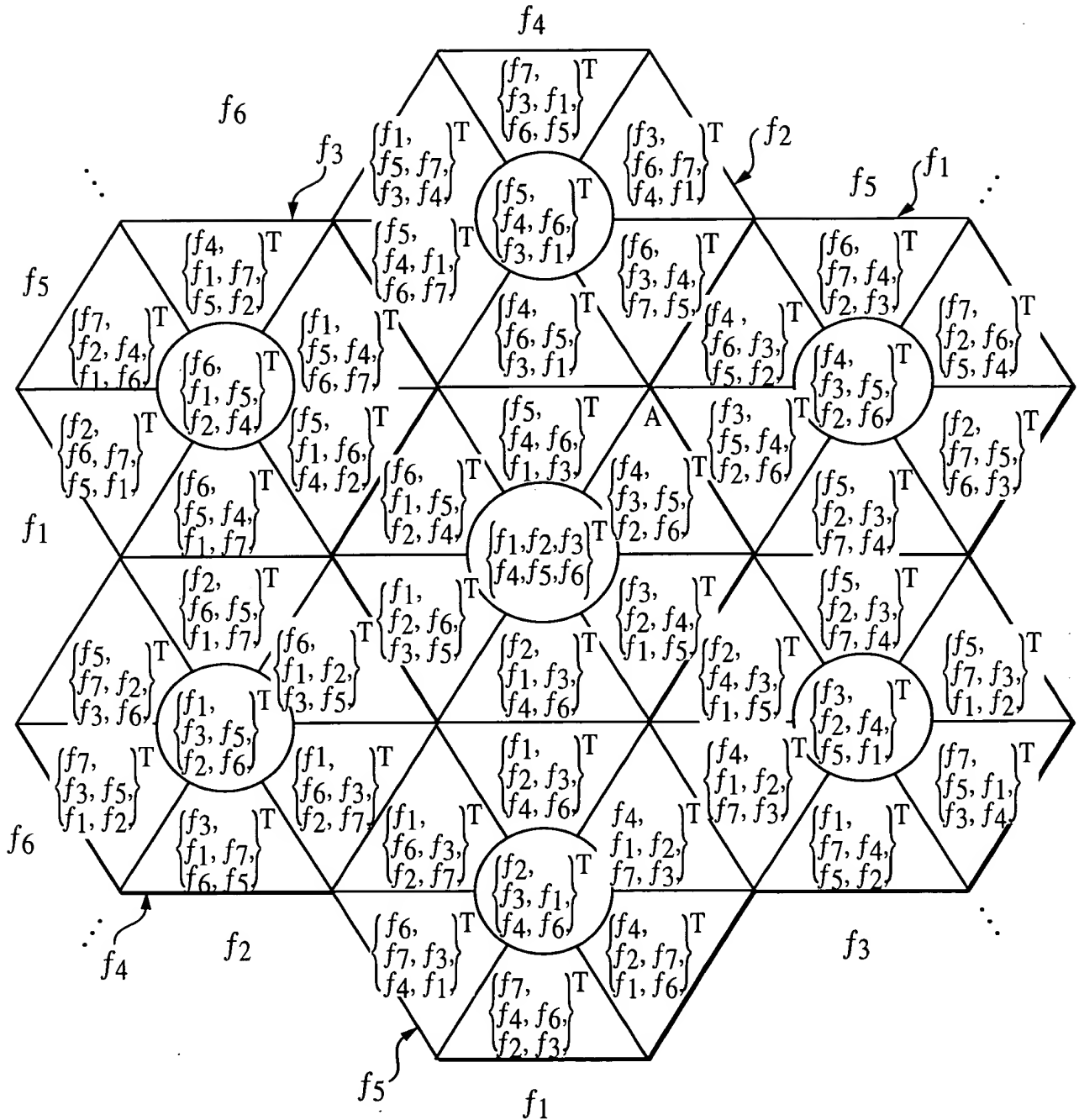


FIG. 8b

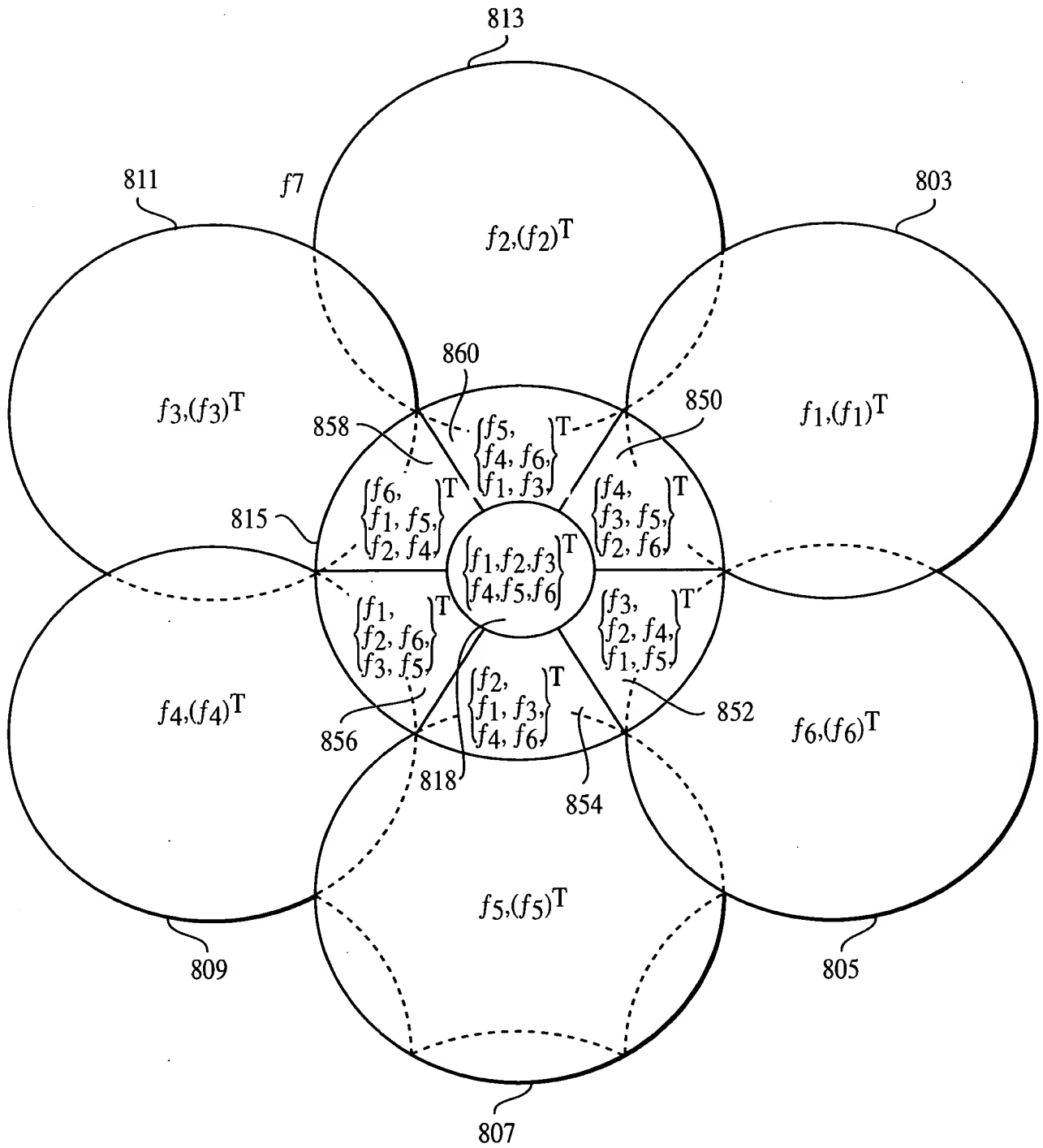


FIG. 8c

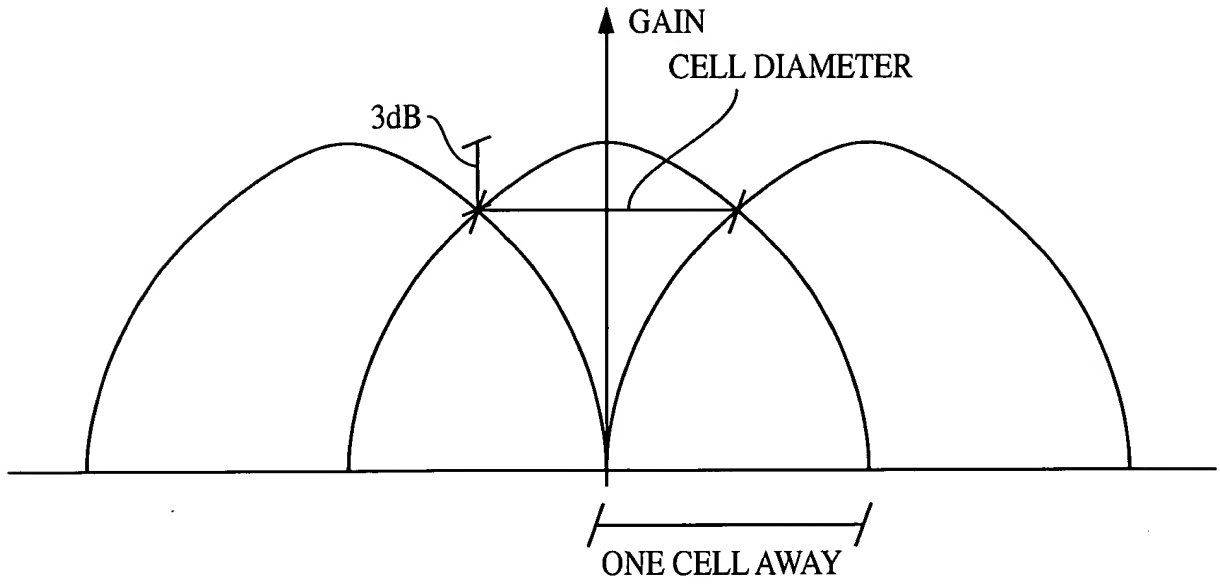


FIG. 9

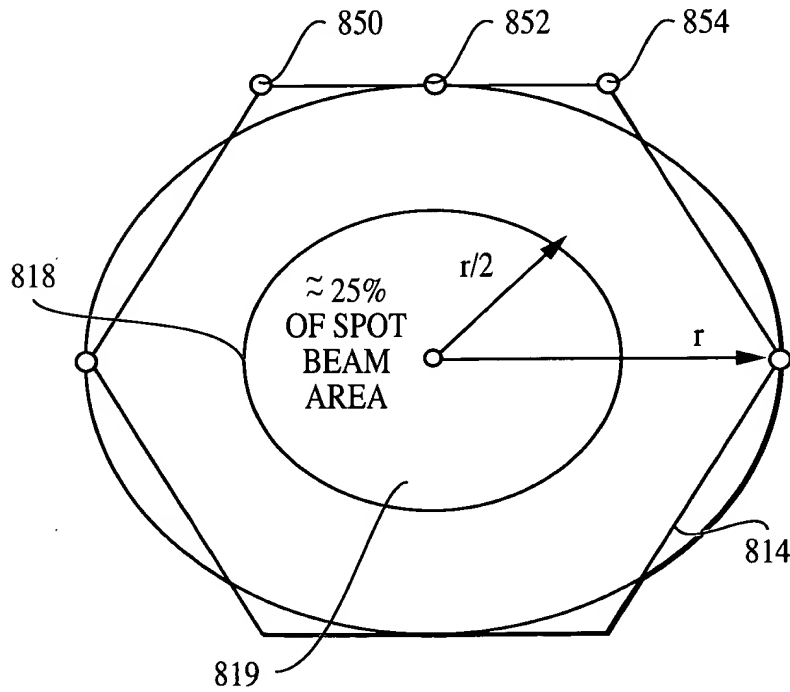
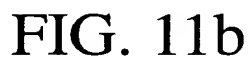


FIG. 10





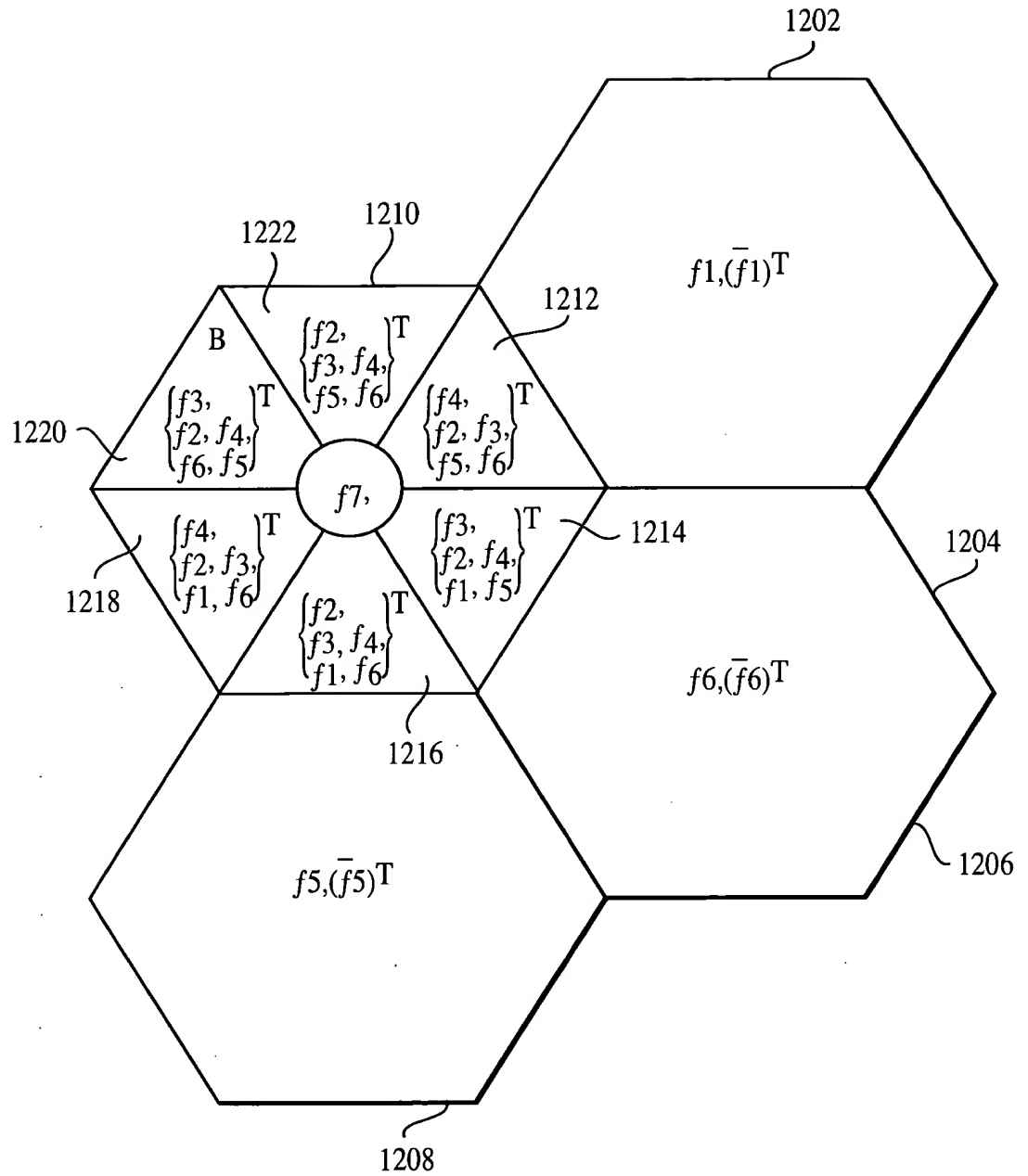


FIG. 12

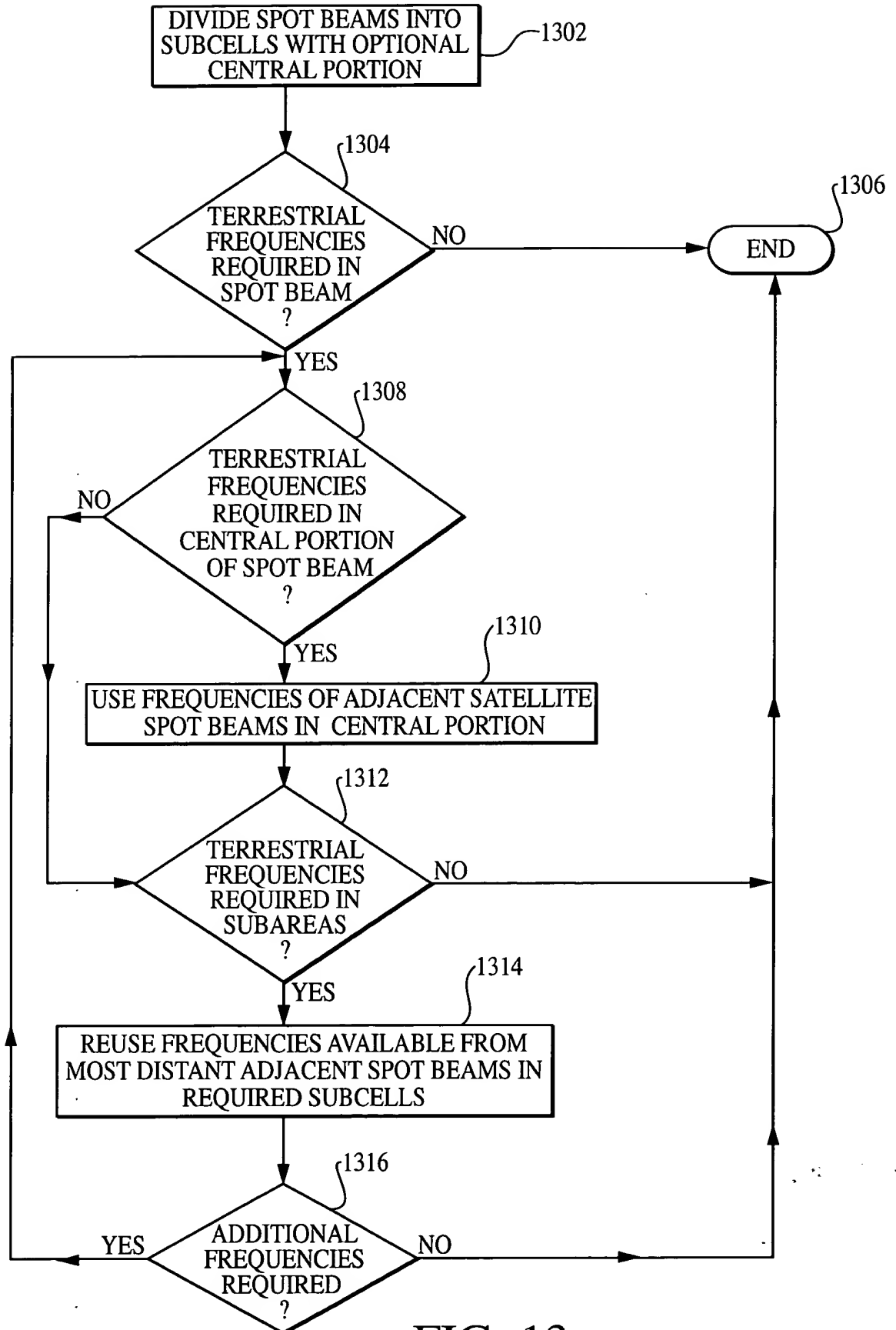


FIG. 13

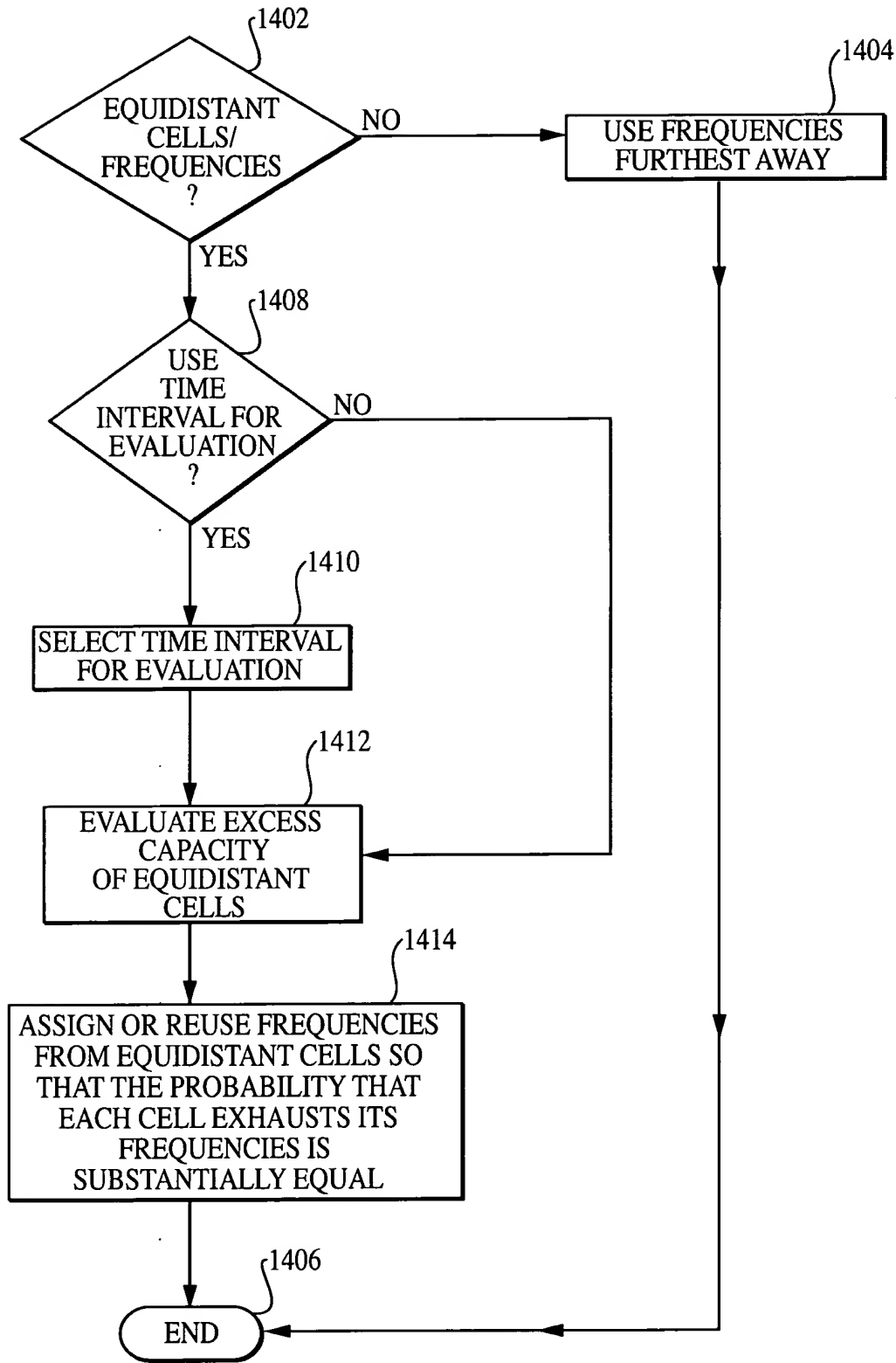


FIG. 14

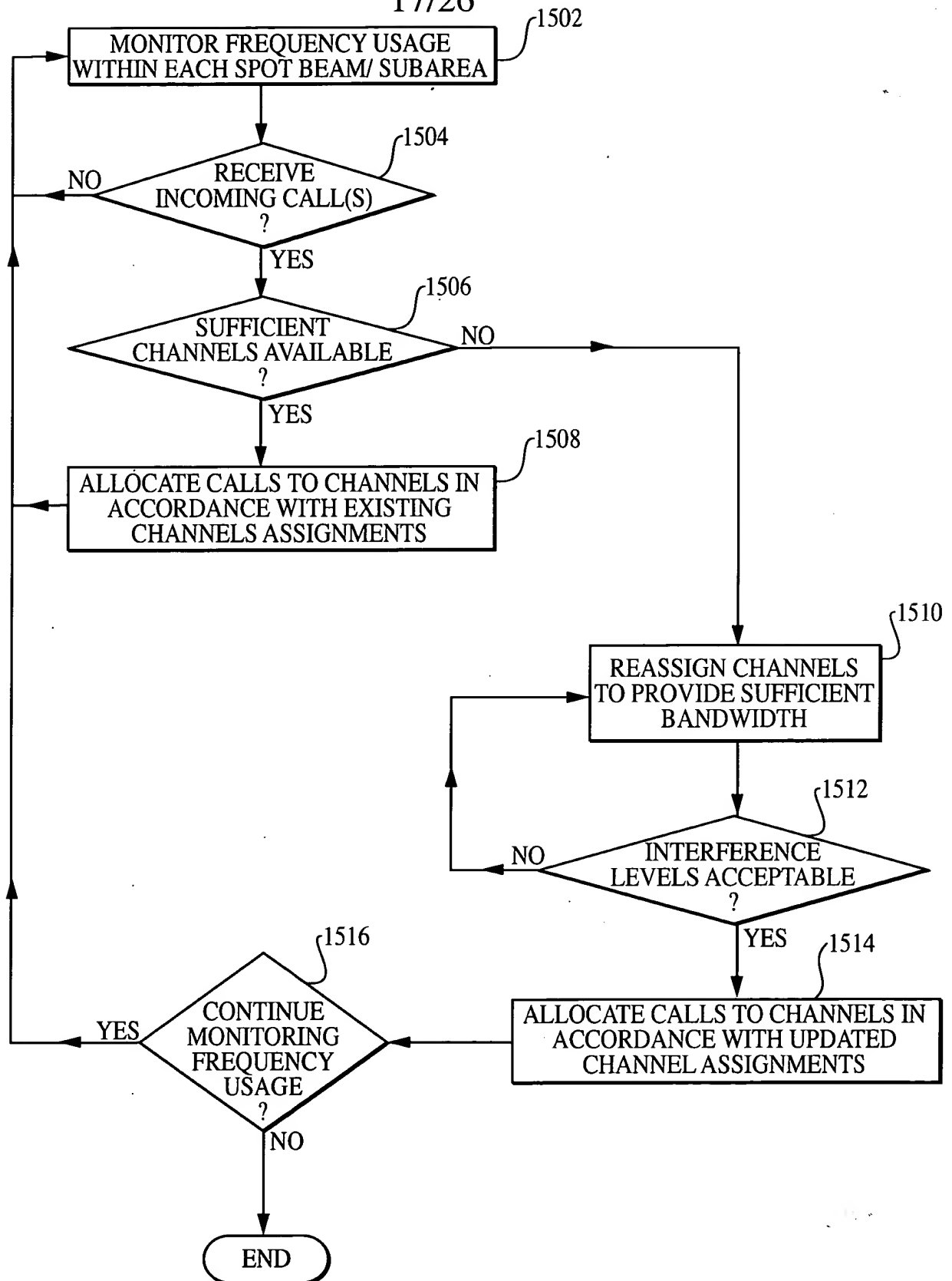


FIG. 15

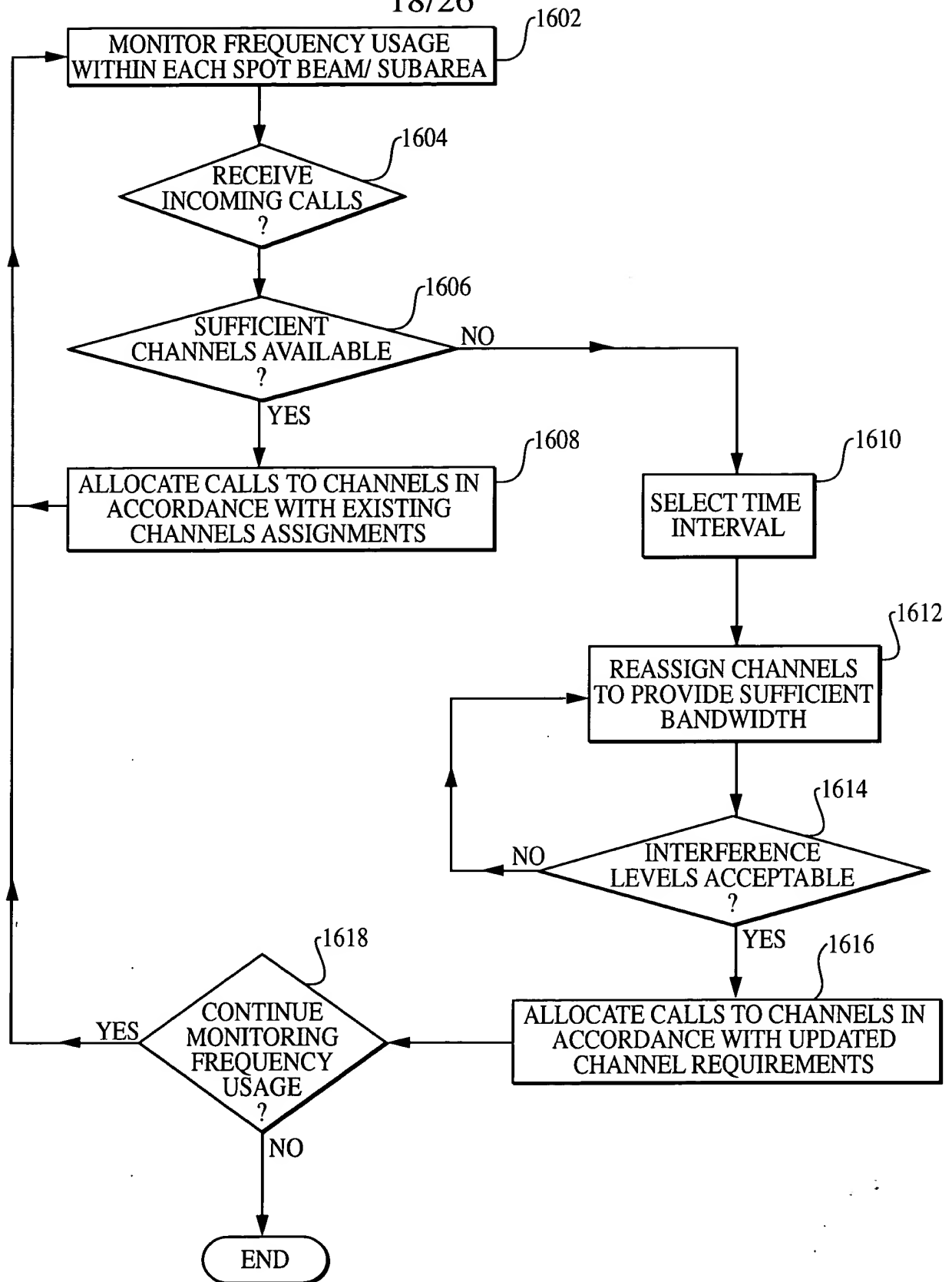


FIG. 16

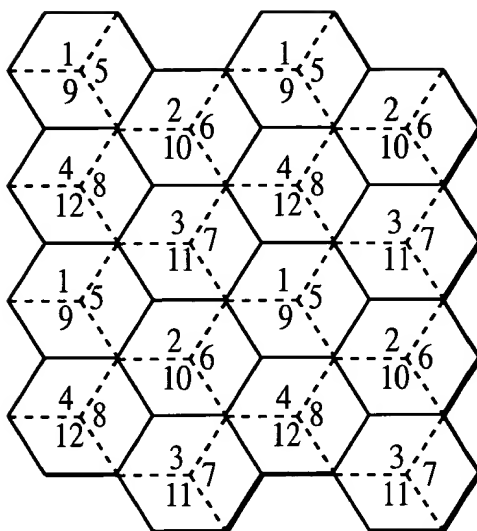


FIG. 17a

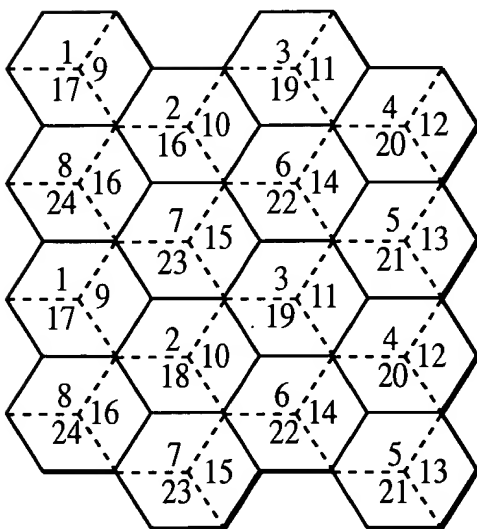
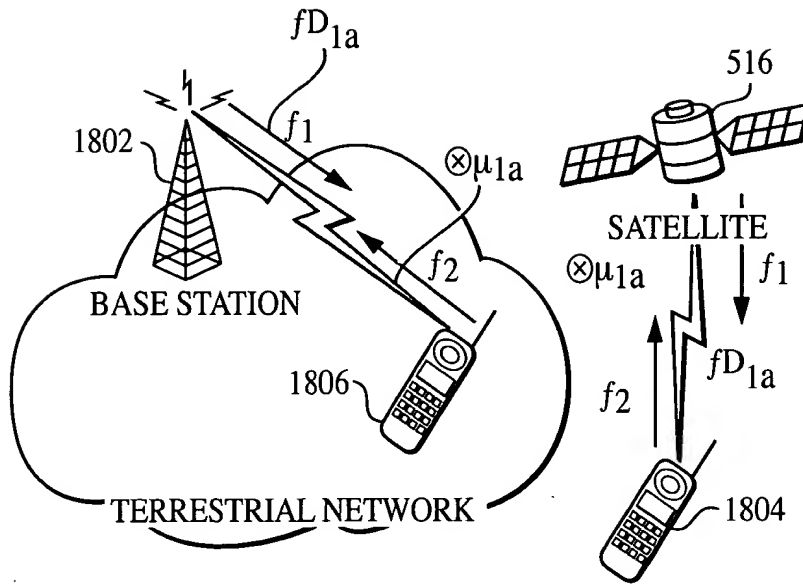
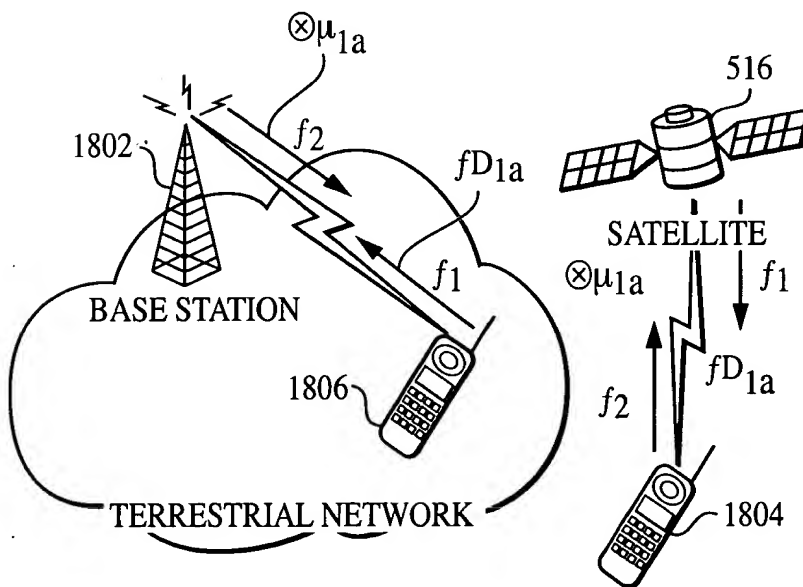


FIG. 17b



NORMAL MODE OPERATION

FIG. 18a



REVERSED MODE OPERATION

FIG. 18b

21/26

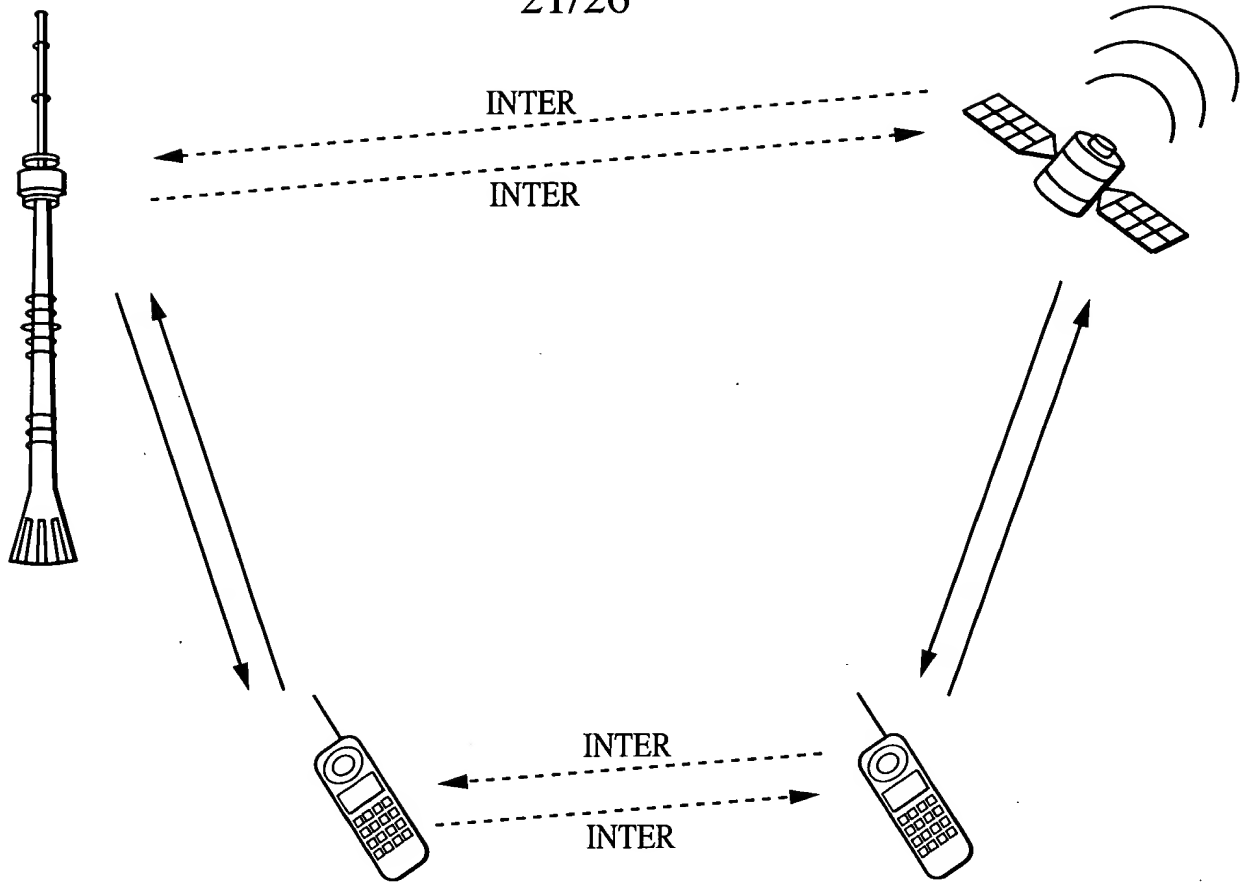


FIG. 19

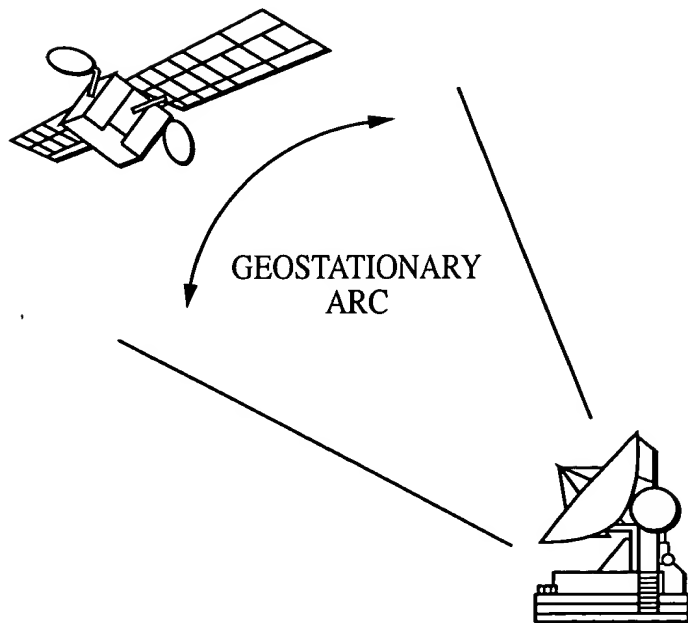


FIG. 20

FIG. 19

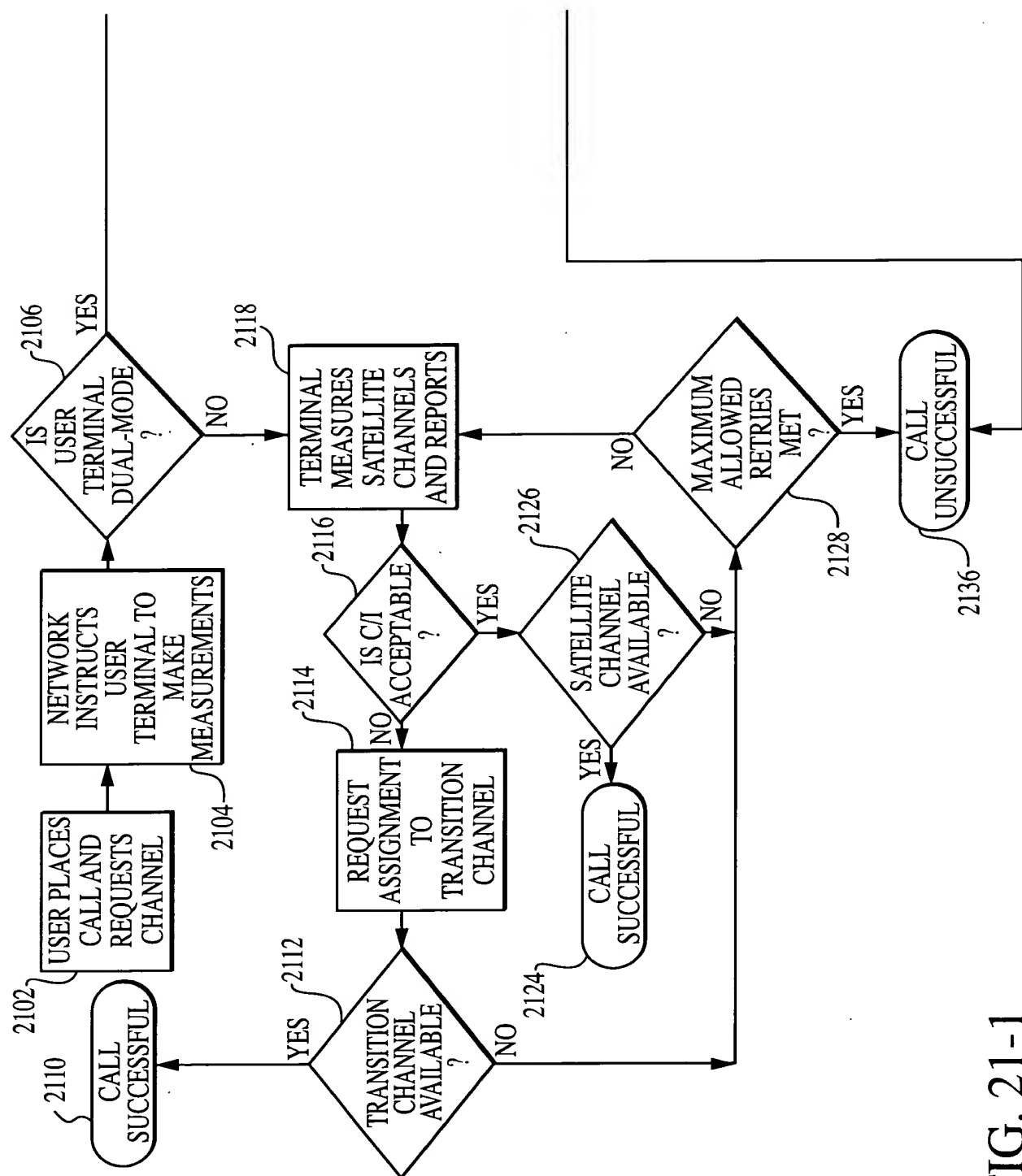


FIG. 21-1

FIG. 21-2

FIG. 21-1

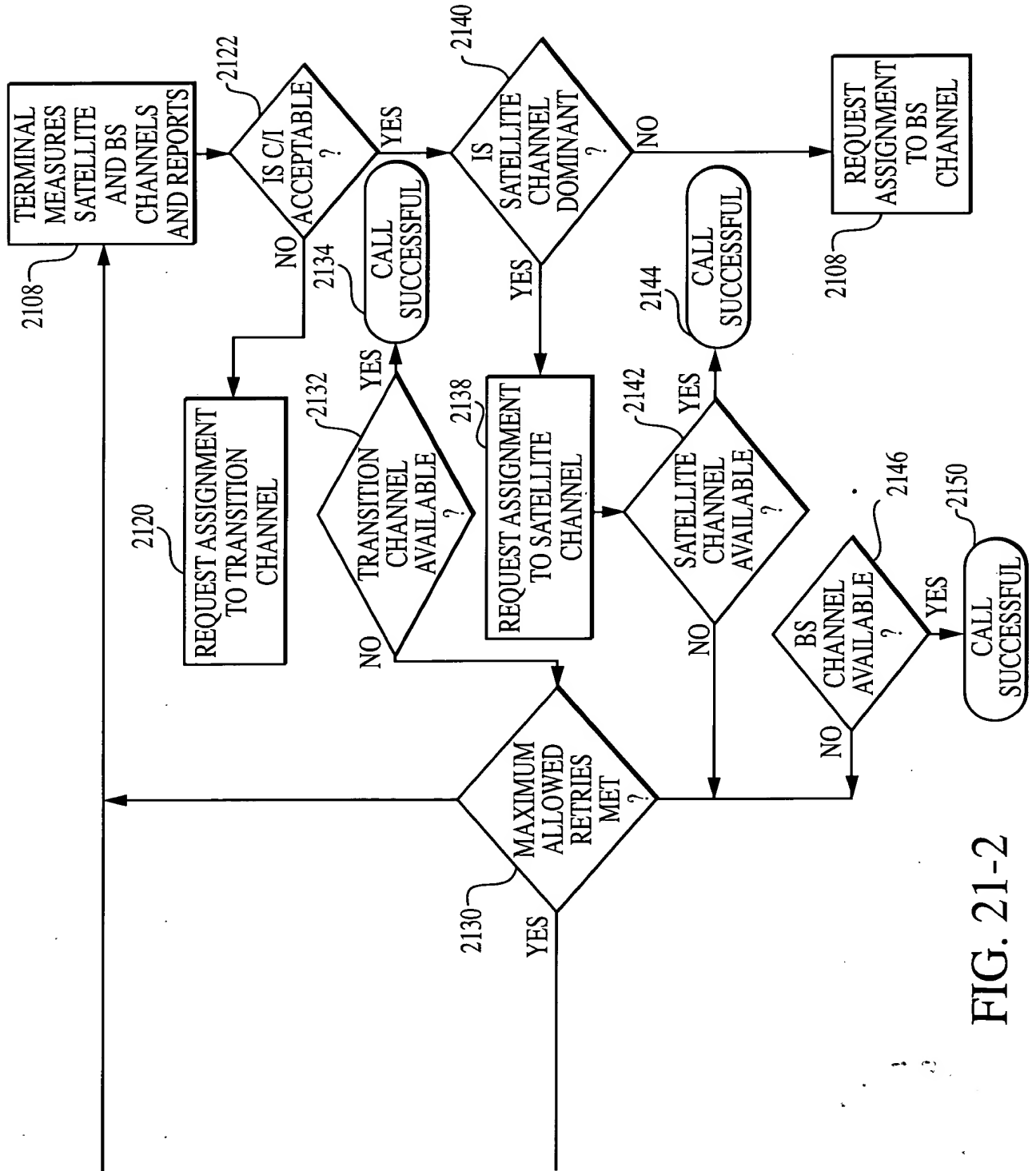


FIG. 21-2

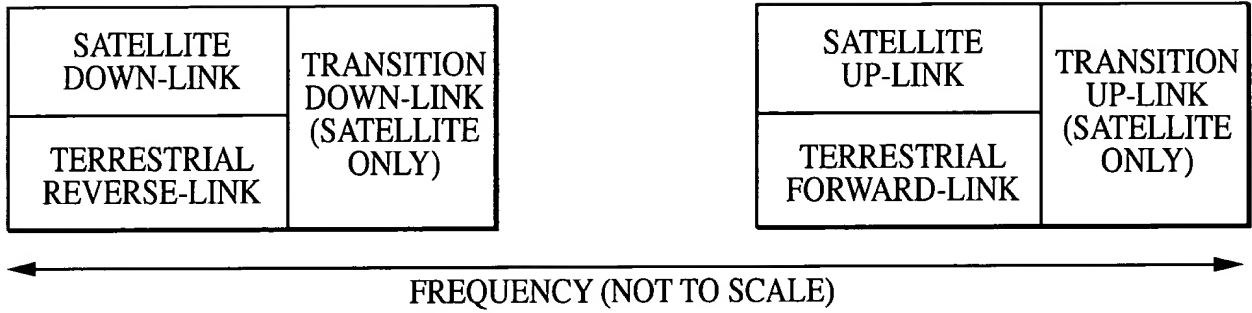
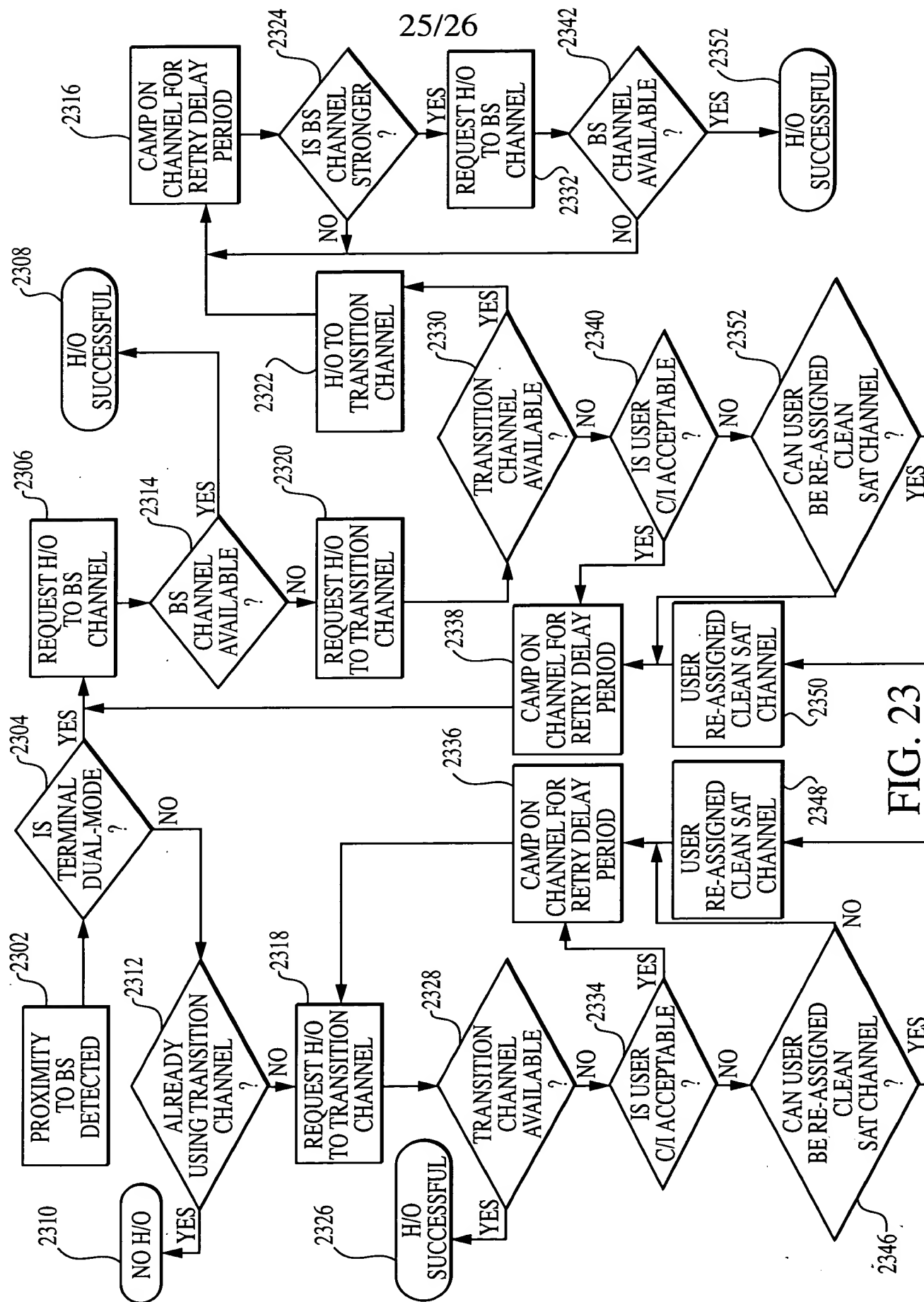


FIG. 22



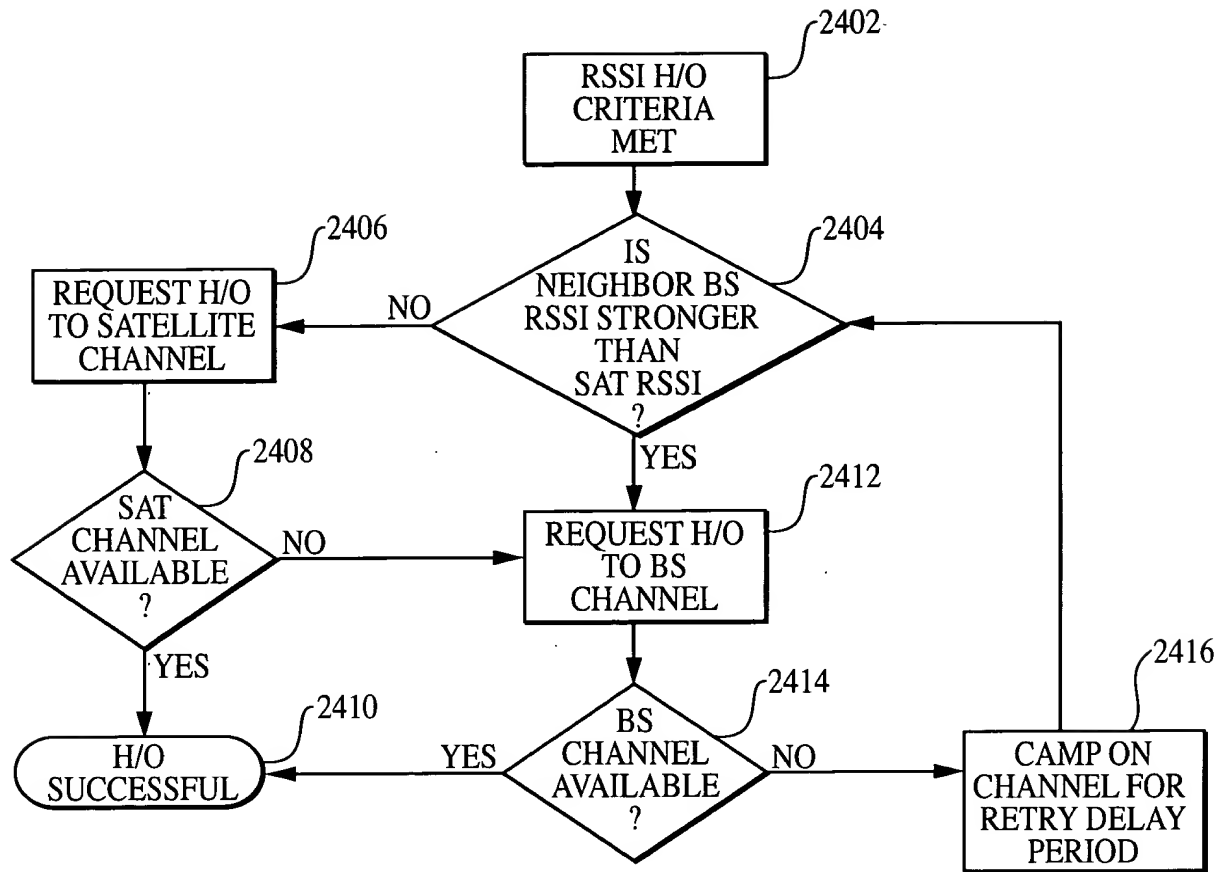


FIG. 24